

地下浅所トンネル掘削に伴う地表下に関する研究

鳥取大学 正員 木山英郎
 鳥取大学 正員 藤村 尚
 鳥取大学(院生) 学員 ○森木 悟

1 はじめに

地下浅所にトンネルを掘削すれば、その直上の地盤に沈下を生ずる。これに關連した弾性解析としては、水平地表面に近接した掘削された円形トンネル周りの応力が、安藤(1937)やMindlin(1939)によつて計算されてゐる。ともに、Jeffery(1921)の双極座標での応力関数を重力場に適用したものである。伊藤(1951)によつてなされた傾斜地表面下の円形トンネル周辺の応力解析もその応用といえる。このように応力場は種々検討されていゝが、変位状態に関するこの種の解析はまだ見当たらぬ。

そこで、上記Mindlinの応力解析の手法に習つて、平面ひずみ下での2次元弾性地盤内の変位解析を行なうこととした。なお、双極座標の応力関数に対応する変位関数の一一般解は上記Jefferyによつて示されてゐる。それを参考にした。

2 解析の基礎

2.1 地盤内の初期応力状態の假定：トンネル掘削以前の水平地盤内の応力状態について、Fig.1に示すMindlinの假定した2つの典型的なモデルについて解析する。

重力による物体力ポテンシャルを Ω 、地盤の単位容積重量を w とおけば、上記2例とも Ω は式(1)で与えられる。一方、直角座標で表わした応力関数 χ はそれと式(2),(3)で与えられる。

$$(1) \quad \Omega = -wy \quad (\text{Case I, II})$$

$$(2) \quad \chi_1 = 0 \quad (\text{Case I})$$

$$(3) \quad \chi_2 = S w y^3 \quad S = \frac{1-2\nu}{6(1-\nu)} \quad (\text{Case II})$$

2.2 双極座標の応力関数：地表面と円形トンネル

を境界線とする双極座標 (α, β) を用いる(Fig.2参照)。

この双極座標において、トンネル壁面は $\alpha=\alpha_1=\text{const.}$ 、地表面は $\alpha=\alpha_0=0$ と表わされ、トンネル中心位置は $(x=0, y=a \coth \alpha_1)$ 、およびトンネル半径は $R = a \cosech \alpha_1$ となる。

Jefferyは応力関数 χ の基礎式とし式(4)を導き、その一般解をさへしている(ただし、重力ポテンシャル Ω は考慮していない)。

$$(4) \quad \left(\frac{\partial^4}{\partial \alpha^4} + 2 \frac{\partial^4}{\partial \alpha^2 \partial \beta^2} + \frac{\partial^4}{\partial \beta^4} - 2 \frac{\partial^2}{\partial \alpha^2} + 2 \frac{\partial^2}{\partial \beta^2} + 1 \right) \left(\frac{\chi}{J} \right) = 0$$

応力成分 $\sigma_{\alpha}, \sigma_{\beta}, \tau_{\alpha\beta}$ はこの χ と Ω とから式(5)で求められる。

$$(5) \quad \begin{aligned} \sigma_{\alpha} &= \left\{ (\cosh \alpha - \cos \beta) \frac{\partial^2 \chi}{\partial \alpha^2} - \sinh \alpha \frac{\partial^2 \chi}{\partial \alpha \partial \beta} - \sin \beta \frac{\partial^2 \chi}{\partial \beta^2} + \cosh \alpha \right\} \left(\frac{\chi}{J} \right) + \alpha \Omega \\ \sigma_{\beta} &= \left\{ (\cosh \alpha - \cos \beta) \frac{\partial^2 \chi}{\partial \beta^2} - \sinh \alpha \frac{\partial^2 \chi}{\partial \alpha \partial \beta} - \sin \beta \frac{\partial^2 \chi}{\partial \alpha^2} + \cos \beta \right\} \left(\frac{\chi}{J} \right) + \alpha \Omega \\ \sigma_{\alpha\beta} &= -(\cosh \alpha - \cos \beta) \frac{\partial^2 \chi}{\partial \alpha \partial \beta} \left(\frac{\chi}{J} \right) \end{aligned}$$

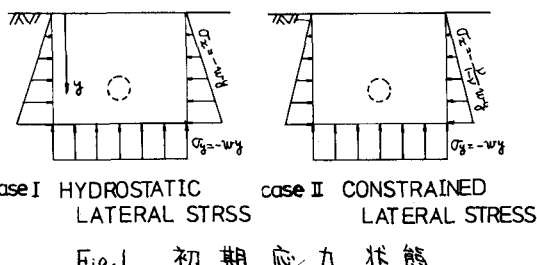


Fig.1 初期応力状態

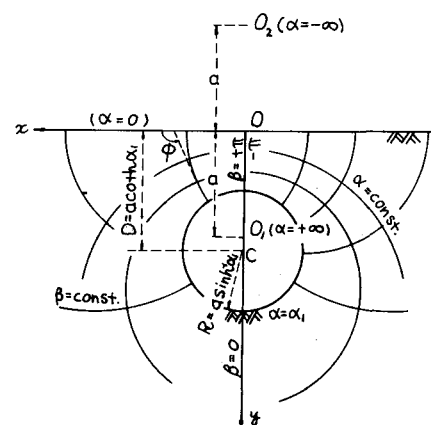


Fig.2 双極座標

2-3. 双極座標の変位成分: Jefferyによると示されたように、双極座標においては、写像拡大率 $\frac{1}{r} = f(\alpha) + f(\beta)$ の形になることから、直角座標における同様な簡単な式(6)で応力関数 χ から変位関数 Q を求めることができる。

$$(6) \quad Q = \iint \left(\frac{\partial \chi}{\partial \alpha} - \frac{\partial^2 \chi}{\partial \beta^2} - 1 \right) \left(\frac{\partial}{\partial \beta} \right) d\alpha d\beta$$

ただし、この解 Q は式(7)を満足する必要がある。

$$(7) \quad \left(\frac{\partial \chi}{\partial \alpha} - \frac{\partial^2 \chi}{\partial \beta^2} - 1 \right) \left(\frac{\partial}{\partial \beta} \right) + 4 \frac{\partial \chi}{\partial \alpha \partial \beta} \left(\frac{\partial}{\partial \beta} \right)^2 = 0$$

これが主、変位成分は式(8)から計算される。

$$(8) \quad \begin{cases} EU\alpha = (1+\nu) \left\{ (1-2\nu) \frac{\partial \chi}{\partial \alpha} - (1-\nu) \frac{\partial^2 \chi}{\partial \beta^2} \right\} \\ EU\beta = (1+\nu) \left\{ (1-2\nu) \frac{\partial \chi}{\partial \beta} + (1-\nu) \frac{\partial^2 \chi}{\partial \alpha^2} \right\} \end{cases}$$

3 応力関数と変位関数の解

3-1 Case I ($X_1=0$ の場合): 応力関数 χ (Mindlinの解の一部修正), 変位関数 Q は次のようである。

$$(9) \quad \frac{\chi}{J} = k_1 \left[\phi \sin \beta + k_2 \sinh \alpha + k_3 \alpha (\cosh \alpha - \cos \beta) + k_3 (\cosh 2\alpha - 1) \cos \beta + k_4 \sinh 2\alpha \cos \beta \right] + \sum_{n=1}^{\infty} \left[L_n \left(\cosh(n+1)\alpha - \cosh(n-1)\alpha \right) + M_n \left(n+1 \right) \sinh(n+1)\alpha - \sinh(n-1)\alpha \right] \cos n\beta$$

$$(10) \quad \frac{Q}{J} = 2k_1 \left[\phi \sin \beta \ln(\cosh \alpha - \cos \beta) + k_2 \sinh \alpha + k_3 \beta (\cosh \alpha - \cos \beta) + k_3 \sinh 2\alpha \sin \beta \right] + k_4 \cosh 2\alpha \sin \beta + \sum_{n=1}^{\infty} \left[L_n \left(\sinh(n+1)\alpha - \sinh(n-1)\alpha \right) + M_n \left(n+1 \right) \cosh(n+1)\alpha - \cosh(n-1)\alpha \right] \sinh n\beta$$

$$(11) \quad \begin{cases} k_0 = -\frac{1}{2} \nu \alpha^2 \coth^2 \alpha, & k_1 = -\frac{1-2\nu}{2(1+\nu)}, & k_2 = \frac{5-6\nu}{2(1+\nu)} \coth \alpha, & k_3 = -\frac{3-4\nu}{4(1+\nu)} \\ k_4 = \frac{1}{2} \left\{ \frac{5-6\nu}{2(1+\nu)} \coth \alpha - 1 \right\}, & L_n = \frac{e^{n\alpha} \sinh \alpha \left(\sinh(n+1)\alpha - \cosh(n+1)\alpha \right)}{\sinh^2 \alpha - n^2 \sinh^2 \alpha}, \\ M_n = \frac{e^{-n\alpha} \sinh \alpha \left(\sinh(n-1)\alpha \right)}{\sinh^2 \alpha - n^2 \sinh^2 \alpha}. \end{cases}$$

ただし、基礎式(6),(7)では重力やテンシャル ϕ が考慮されていないので、上式(10)にも ϕ の影響が入る、といつていい。別途考慮する必要がある。

3-2 Case II ($X_2 = S w y^3$ の場合): 上述の解(Case I)に X_2 に対応する解を重ね合わせることによって決定される。 X_2 に対応する応力関数 χ , 変位関数 Q は以下に与えられる。

$$(12) \quad \frac{\chi'}{J} = k'_1 \left[\frac{\sinh^3 \alpha}{(\cosh \alpha - \cos \beta)} + k'_2 \alpha (\cosh \alpha - \cos \beta) + k'_3 (\cosh 2\alpha - 1) \cos \beta + k'_4 \sinh 2\alpha \cos \beta \right] + \sum_{n=1}^{\infty} \left[L'_n \left(\cosh(n+1)\alpha - \cosh(n-1)\alpha \right) + M'_n \left(n+1 \right) \sinh(n+1)\alpha - \cosh(n-1)\alpha \right] \cos n\beta$$

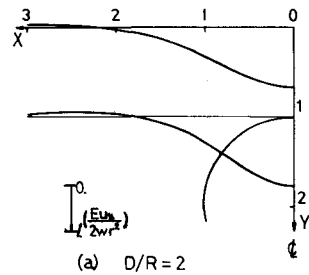
$$(13) \quad \frac{Q'}{J} = 2k'_1 \left[F(\alpha, \beta) + k'_2 \beta (\cosh \alpha - \cos \beta) + k'_3 \sinh \alpha \sin \beta + k'_4 \cosh 2\alpha \sin \beta \right] + \sum_{n=1}^{\infty} \left[L'_n \left(\sinh(n+1)\alpha - \sinh(n-1)\alpha \right) + M'_n \left(n+1 \right) \cosh(n+1)\alpha - \cosh(n-1)\alpha \right] \sinh n\beta$$

$$(14) \quad \begin{cases} k'_0 = S w \alpha^2, & k'_1 = 3 \coth \alpha, \cosech \alpha, & k'_3 = -\frac{3}{2} \cosech^3 \alpha, & k'_4 = \frac{3}{2} \coth \alpha, \cosech \alpha, \\ L'_n = \frac{n(n-1) \sinh^2 \alpha}{\sinh^2 \alpha - n^2 \sinh^2 \alpha}, & M'_n = \frac{n \sinh \alpha \left(\sinh(n+1)\alpha + \cosh(n+1)\alpha \right) + e^{n\alpha} \sinh \alpha}{\sinh^2 \alpha - n^2 \sinh^2 \alpha}. \end{cases}$$

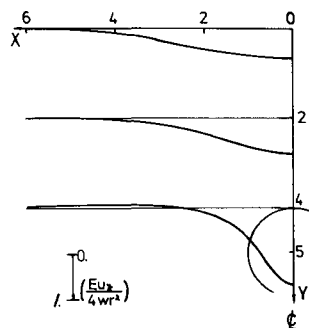
ただし、 χ と Q を合わせたものが与えられた初期応力状態Case Iを表し、それに応する変位は直角座標を用いて簡単に計算できる。こうして求めた変位はトンネル開削以前の地盤状態を表すので、本解析では計算する必要がない(したがって、式(13)の $F(\alpha, \beta)$ は不用である)。

4 解析例

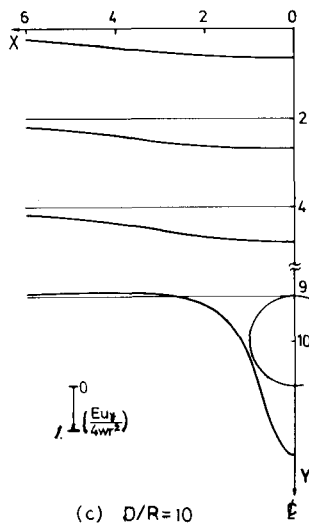
Case IIに対する変位解析結果の一例はFig.3(a),(b),(c)に示す。



(a) D/R = 2



(b) D/R = 5



(c) D/R = 10

Fig.3 各トンネル深さに対する
沈下量 ($\nu = 0.25$)